

東京都立大学 正会員 鈴木一雄

1. まえがき

コンクリート施工の合理化を計る上で、まだ固まらないコンクリートの変形および流動現象の予測を行なうことよ、きわめて重要のことである。本研究はグラウトモルタルの円管内の流動現象を取り扱にもので、グラウトモルタルをビンガム体と仮定し、管壁におけるグラウトモルタルのスリップ係数、および動摩擦係数の決定に重点をおいて研究し、任意の圧力負荷における流量の推定式を提示した。なお、本研究を行つに当り、終始御指導を賜わった東京都立大学、村田二郎教授に感謝するとともに、昭和53年度吉田研究奨励金を授与されたことを付記し、謝意を表します。

2. 使用材料および配合

実験に使用したセメントは日本社製普通ポルトランドセメント(比重3.16)である。ライアッシュは比重2.19、粉末度 $3200 \text{ cm}^2/\text{g}$ のものを用いた。減水剤はポーリスNo.8(遮延型)を用いた。細骨材は木更津産の山砂で比重2.59、吸水率4.9%のものを用いた。

グラウトモルタルの配合は表-1に示すよであつて、アローーの流下時間、18秒程度を基準とし16秒および20秒のものについても試験した。

3. グラウトモルタルの流量の予測

グラウトモルタルをビンガム体と仮定し傾斜管(図-1参照)による実測流量とバッキンガム・ライナーの式による理論流量を比較検討した。実験に用いた管の内径は 20 mm 、管長は $50, 100, 150, 200$ および 300 cm であつて、管の材質はアクリル樹脂、塩化ビニールおよびステンレスである。傾斜角度を $5^\circ, 10^\circ$ および 15° に変化させ流量の測定を行なつた。測定結果を図-2に示す。

図-2において管の材質がアクリルおよび塩化ビニールの場合、管長 150 cm で、ステンレスの場合、管長 130 cm で、実測流量はバッキンガム・ライナーの式による理論流量と見掛け上一致しており、管長がこれより短い場合、実測流量は理論流量を上まわり、逆にこれより長い場合は理論流量を下まわる。これらのことは管壁面におけるグラウトモルタルのスリップおよび摩擦による圧力損失に起因すると考えられる。スリップは圧力こう配とグラウトモルタルの配合によって決定されると考え、摩擦による圧力損失は管壁内面の粗滑に

表-1 グラウトモルタルの配合

$\frac{W}{C+F}$	S_{C+F}	E_{C+F}	A_{C+F}	アローー流下時間(秒)	単位容積重(kg/cm^3)
50	1.11	20	0.25	16.1	2.04
50	1.20	20	0.25	17.8	2.05
50	1.31	20	0.25	20.2	2.06

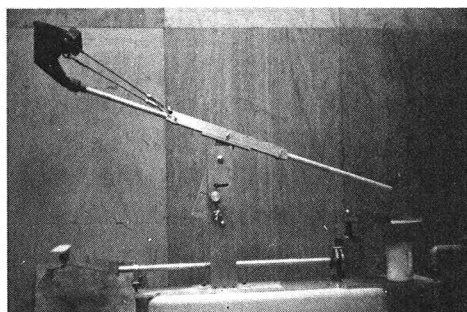


図-1 傾斜管試験装置

表-2 α および η の値

アローー流下時間(秒)	16	18	20
α	0.30	0.20	0.12
$\eta \times 10^{-4}$	1.5	1.4	2.0

よるものと考えた。すなはち

$$v_s = \alpha \frac{4P - 4P'}{l} \quad (1)$$

$$4P' = \frac{2l P}{R} n \quad (2)$$

ここに、 v_s はスリップによる速度、 l は管長、 P は圧力差、 P' は圧力損失、 α はスリップ係数(配合によって決まる定数)、 R は管の半径、 n は管壁面に作用する圧力、 n は管壁内面の粗滑によって決まる動摩擦係数。これらスリップおよび圧力損失をバッキンガム・ライナーの式に導入することにより、グラウトモルタルの管路内の流量の推定式(式-3)が与えられ、任意条件以下の流量の推定が可能となる。

$$Q' = \frac{\pi R^4 (P - P')}{8l \eta_{\text{pl}}} \left[1 - \frac{4}{3} \left(\frac{r_0}{R} \right) + \frac{1}{3} \left(\frac{r_0}{R} \right)^4 \right] + \pi R^2 D_s \quad (3)$$

ここに、 η_{pl} は塑性粘度、 r_0 は栓流半径($\frac{2l P}{R - P'}$)、 D_s は降伏値。

4. α および n の値

α および n の値を求めるため傾斜管に 25cm 間隔で

圧力ゲージ(最大圧力 200 kN/m^2)を管壁面にセットし、

動ひずみ計およびラバーコーターを用いて管壁に作用する圧力を測定した。特に、圧力ゲージは温度の変化による影響が大きいため、試験前に傾斜管全体の温度をグラウトモルタルの練り上がり温度と同程度となるよう心掛けた。圧力の測定結果を図-3 に示す。図-3において、管の入口附近で測定した圧力は比較的小く、管の入口から 20cm 前後で予測に近い値を示し、その後、管の出口に近づくにつれて図-3 に示すように曲線的に減少する。管の入口附近の圧力低下は助走区間を示すと考えられるが、この区間は比較的短かないので、これを無視し管内の圧力分布を管入口においてオッパーによる水頭差、出口において δ 、その間に式-4 で近似させた。

$$\delta = 1 - \lambda e^{-\lambda x} \quad (4)$$

ここに δ は圧力比(P/P_0)、 λ は管路全長に対する入口から長さの比(cm/cm)、管長 150cm、管径 20mm の塩化ビニール管によりアロート流下時間 16, 18 および 20 秒で傾斜角度 5°, 10° および 15° における実測流量と式-3 を用い、 α および n の値を計算すると表-3 に示すようである。表-3 で与えられた α および n を用い、種々の管長および圧力こう配の管路におけるグラウトモルタルの流量測定を行ない実測値と比較した。その結果を表-3 に示す。表-3 において圧力こう配が $\lambda < 0.6$ 以内では実測値と計算値がよく一致している。しかし圧力こう配が、1 以上になると計算値は実測値に比べてかなり小さい。これは圧力こう配の大きい範囲ではスリップ係数が圧力こう配に一次比例しないものと考えられ現在検討中である。

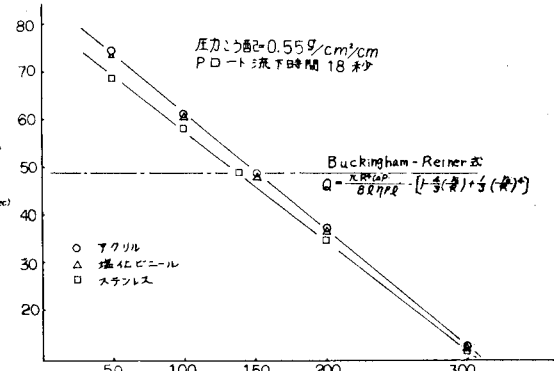


図-2. 流量測定結果 管長(cm)

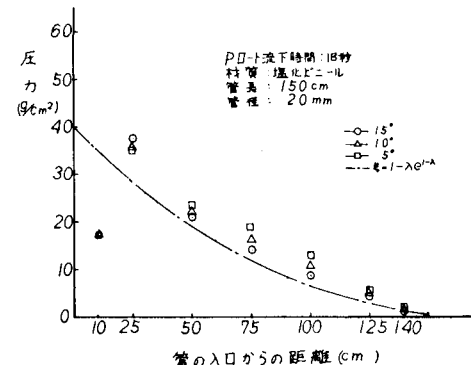


図-3 管内圧力の測定結果

表-3. 流量測定結果 (P口-下流時間 18 秒)

管長 (cm)	流量 (%)	圧力こう配 λ		
		5°	10°	15°
50	圧力こう配 $\cdot P$	0.304	0.480	0.655
	QA	53.5	67.1	80.5
	Q'	52.1	66.4	80.0
200	比	1.03	1.01	1.01
	QA	3.46	16.0	30.1
	Q'	3.35	15.8	29.7
800	比	1.03	1.01	1.01
	QA	$P=0.625$ 10.5	$P=1.25$ 11.5	—
	Q'	10.2	50.7	—
	比	1.03	2.27	—

注: QA は実測流量、Q' は計算流量、比 = Q_A/Q'